

## Gráficos para estudiar el asoleo

por Eduardo Fernández-Díaz, Arqto.

En los trabajos de Asoleometría distinguimos dos etapas: una, *geométrica*, y otra, *física*. Durante la primera determinamos cuáles son las horas de sol en un sitio prefijado (calle, fachada, interior de habitación, etc.); durante la segunda medimos la eficacia de las horas de sol halladas en la etapa anterior.

La *Geometría* del asoleo tiene una copiosa literatura: numerosos artículos de revista y capítulos de libro se han escrito proponiendo procedimientos que resuelven, más o menos laboriosamente, el problema geométrico. Los recursos empleados son: tablas, ábacos, fórmulas, construcciones gráficas y aparatos.

En cambio, son pocos los trabajos bien cimentados que hay en nuestra literatura profesional acerca de la *Física* del asoleo. Quizás sea debido esto a la relativa modernidad y escasa divulgación entre nosotros de los estudios de Astrofísica y Meteorología, que, con cierta garantía, nos ilustran sobre las alteraciones que en magnitud y calidad experimenta la energía solar en su tránsito por la atmósfera terrestre.

En este artículo nos limitamos al problema geométrico. Entre los procedimientos gráficos propuestos para resolverlo figuran los que lo consiguen valiéndose de la representación del movimiento aparente del Sol sobre una superficie y proyectando sobre ella el objeto en estudio. Las superficies usadas, en los trabajos que conocemos, son la esfera y el cilindro; nuestro ilustre profesor don Luis Doménech Muntaner, de venerada memoria, empleaba el cilindro. Aquí nos valdremos de gráficos obtenidos suponiendo que el Sol se mueve aparentemente sobre planos: salta a la vista que, *teóricamente*, así se simplifica el problema, pero falta demostrar que también en la práctica sucede lo mismo, y que los inconvenientes no aminoran o anulan la pretendida simplificación. Presentar una variada serie de casos resueltos constituiría la mejor prueba a favor o en contra del procedimiento, pero hemos de reducirnos a exponerlo y a dar algunas aplicaciones, asuntos de los párrafos siguientes.

Aun cuando ello no sea exacto, podemos admitir que el movimiento diurno aparente del Sol, respecto la Tierra, es un giro alrededor del eje terrestre, en un plano que cada día es distinto. Según esto, la recta que une los centros de los dos astros engendra, en el transcurso del

año, diferentes superficies cónicas de revolución, cuyo vértice común es el centro de nuestro planeta. El ángulo de la generatriz de una cualquiera de estas superficies con el eje de la Tierra es el complemento de la declinación del Sol, y, por lo tanto, va aumentando desde los solsticios, en los cuales mide  $66^{\circ} 33'$ , a los equinoccios, en los que es recto y el cono se convierte en un plano.

Imaginemos que entre el Sol y la Tierra se interponen cuatro planos, paralelos al eje terrestre, equidistantes de él, y perpendiculares dos a dos (fig. 1). Estos planos (nuestra *bóveda celeste*) cortan a cada una de las superficies cónicas de revolución engendradas por la recta Sol-Tierra, según cuatro ramas iguales de hipérbola que, para un observador colocado en el centro del mundo, representarán el paso aparente del Sol sobre dichos planos, durante el día en que la declinación de este astro es igual al complemento del ángulo formado por la generatriz y el eje del cono.

Tracemos ahora la rosa de los planos horarios: éstos cortarían a los de la *bóveda celeste* según rectas paralelas al eje de la Tierra y que serán las líneas horarias. Tomamos como plano origen de la rosa, o de las cero horas, uno perpendicular a dos de la *bóveda* y, por consiguiente, paralelo a los otros dos.

El punto de intersección de una línea horaria con una curva de paso aparente del Sol nos indicará la posición de éste en la fecha y hora a que correspondan, respectivamente, la hipérbola y la recta consideradas.

Para nuestro objeto basta con las líneas horarias a intervalos de un cuarto de hora, los pasos o curvas diurnas correspondientes a las declinaciones boreales y australes de  $23^{\circ} 27'$  (solsticios de junio y diciembre),  $20^{\circ}$ ,  $15^{\circ}$ ,  $10^{\circ}$ ,  $5^{\circ}$  y a la de  $0^{\circ}$  (equinoccios de marzo y septiembre).

Si a lo largo de la línea de las cero horas cortamos la *bóveda celeste* y la extendemos sobre un plano, de manera que lo visible sea la superficie interior de ella, obtendremos el «gráfico universal». Para que el calificativo de *universal* sea adecuado es preciso, naturalmente, que el gráfico sirva de polo a polo, y, por lo tanto, en él han de figurar las veinticuatro horas, pues, en los lugares situados en los casquetes polares, el día puede tener esa duración. En el gráfico que usaremos (fig. 2)



sarios para el trazado del «gráfico universal», reproducido en la figura 2 al tamaño que corrientemente empleamos. La rotulación del gráfico corresponde a nuestro hemisferio. En el austral, la numeración de las horas ha de crecer de derecha a izquierda; las declinaciones australes

de servir para un determinado lugar del mundo. La figura 4 a es una proyección de la bóveda celeste sobre el plano meridiano: el punto *T* representa a la Tierra, *PP'* es el eje terrestre (*P* es el polo de igual nombre que el hemisferio en que se halla el lugar), *EE* es el Ecuador

DATOS PARA EL TRAZADO DEL «GRÁFICO UNIVERSAL»

	h.	h. m.	h. m.	h. m.	h.	h. m.	h. m.	h. m.	h.	h. m.	h. m.	h. m.	h.	
PLANO CENTRAL (meridional en el hemisferio N., septentrional en el S.).....	12	12 15	12 30	12 45	1	1 15	1 30	1 45	2	2 15	2 30	2 45	3	
		11 45	11 30	11 15	11	10 45	10 30	10 15	10	9 45	9 30	9 15	9	
PLANOS LATERALES (oriental y occidental).....	6	6 15	6 30	6 45	7	7 15	7 30	7 45	8	8 15	8 30	8 45	9	
		5 45	5 30	5 15	5	4 45	4 30	4 15	4	3 45	3 30	3 15	3	
ÁNGULOS HORARIOS.....	0	0 / 3 45	0 / 7 30	0 / 11 15	0	0 / 18 45	0 / 22 30	0 / 26 15	0	0 / 33 45	0 / 37 30	0 / 41 15	0	
ABSCISAS DE LAS LÍNEAS HORARIAS.....	0	6,55	13,16	19,89	26,79	33,94	41,42	49,31	57,73	66,81	76,73	87,69	100,0	
ORDENADAS DE LAS HIPÉRBOLAS PARA DECLINACIONES DE.....	0 / 23 27	43,37	43,47	43,75	44,22	44,90	45,80	46,95	48,36	50,08	52,17	54,68	57,69	61,34
	20	36,39	36,47	36,71	37,11	37,68	38,43	39,39	40,58	42,02	43,77	45,87	48,41	51,47
	15	26,79	26,85	27,02	27,32	27,74	28,29	29,00	29,87	30,94	32,22	33,77	35,64	37,89
	10	17,63	17,67	17,78	17,98	18,25	18,62	19,08	19,66	20,36	21,20	22,22	23,45	24,93
	5	8,75	8,77	8,82	8,92	9,06	9,24	9,47	9,75	10,10	10,52	11,03	11,63	12,37
	0	0	0	0	0	0	0	0	0	0	0	0	0	0

Distancia del centro de la Tierra a los planos : 100.  
Aquí se cuentan los ángulos horarios de modo distinto que el acostumbrado.

han de estar encima de la línea equinoccial, y las boreales, debajo de ella; levante quedará a la derecha, y poniente, a la izquierda.

Veamos la manera de poner el gráfico en condiciones

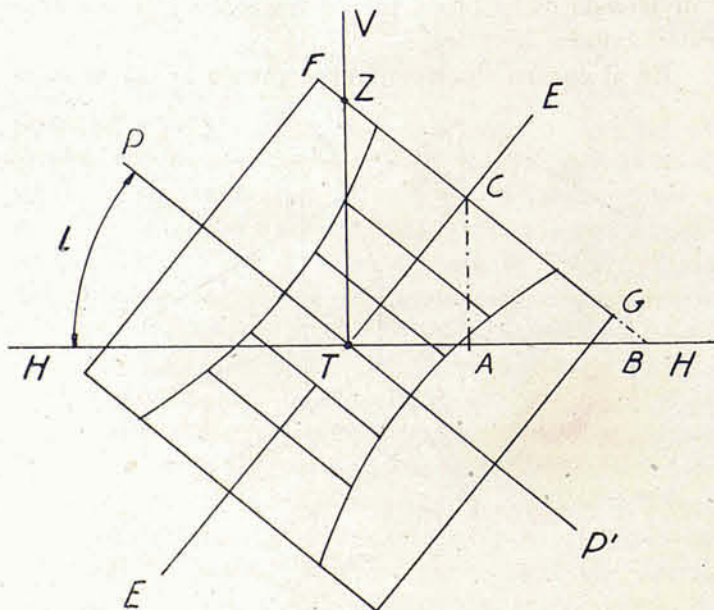


Fig. 4 a

celeste; *TV*, *Z*, *HH* y el ángulo *l* son, respectivamente, la vertical, el cenit, el horizonte racional y la latitud del lugar considerado. La figura 4 b es una perspectiva de la bóveda celeste, vista por fuera y suprimiendo la parte de ella situada bajo el horizonte. Estas figuras nos muestran que en los planos oriental y occidental, el ángulo de las líneas horarias con la de horizonte es igual a la latitud, que dicho ángulo es recto en el plano perpendicular al meridiano, y que la línea de horizonte pasa por los puntos de intersección del Ecuador con las horarias correspondientes a las 6 de la mañana y a la misma hora de la tarde. Un plano trazado por *TV*, perpendicularmente al del dibujo, corta al *FG* según una horizontal, y ésta a la meridiana de *FG* en un punto que es el cenit. De lo anterior se deduce la manera de señalar la línea de horizonte y el cenit en el gráfico, el cual, hecho esto, queda en condiciones de ser utilizado en cualquier lugar de la Tierra cuya latitud norte sea *l* (fig. 5).

Para operar, además del gráfico, necesitamos el plano del horizonte (fig. 6), en el que dibujaremos: la meridiana, la línea *E.-O.*, y las trazas de los tres planos de la bóveda celeste.

Como demuestra la relación que sigue a este párrafo,

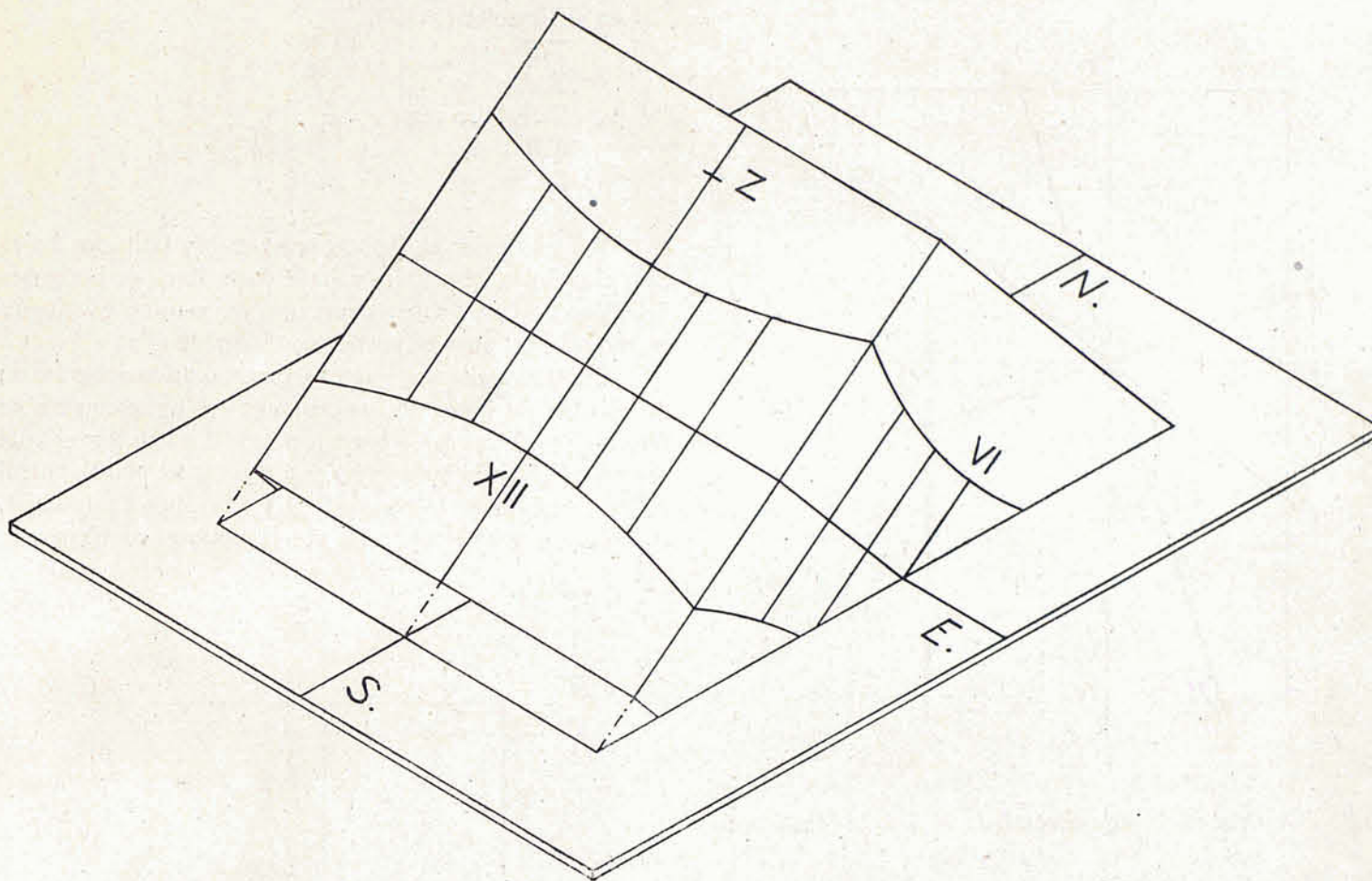


Fig. 4 b

no hacen falta construcciones para poder marcar, en el gráfico o en el horizonte, el punto y las líneas anteriormente indicados; basta la simple lectura de una tabla de razones trigonométricas.

$T C$ , distancia del centro del mundo a los planos que forman la bóveda celeste : 100 mm.

$T B$ , distancia del centro a la traza horizontal del plano  $F G$  (perpendicular al meridiano y central del gráfico) :  $100 : \text{sen } l = 100 \text{ cosec } l$ .

$T A$ , distancia del centro a la proyección horizontal de la línea equinoccial de  $F G$  :  $100 \text{ sen } l$ .

$C A$ , distancia de la equinoccial de  $F G$  al plano horizontal :  $100 \text{ cos } l$ .

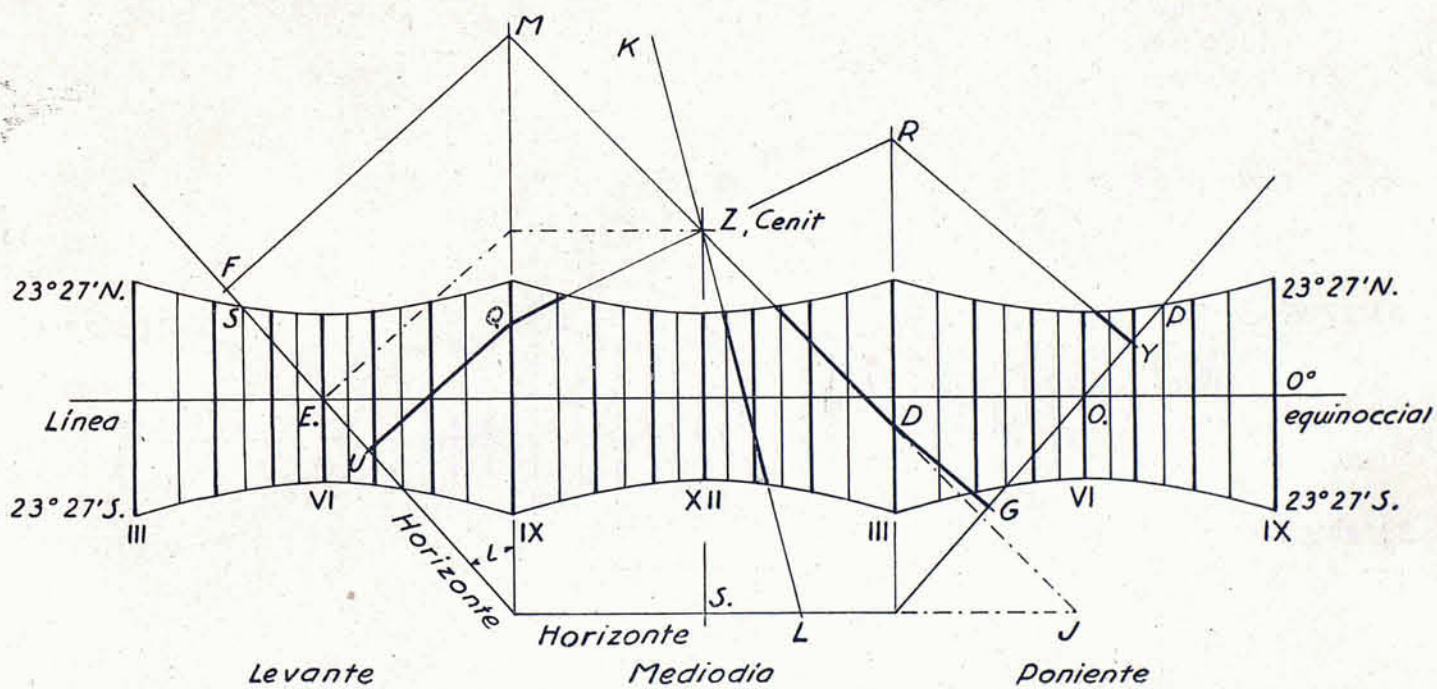
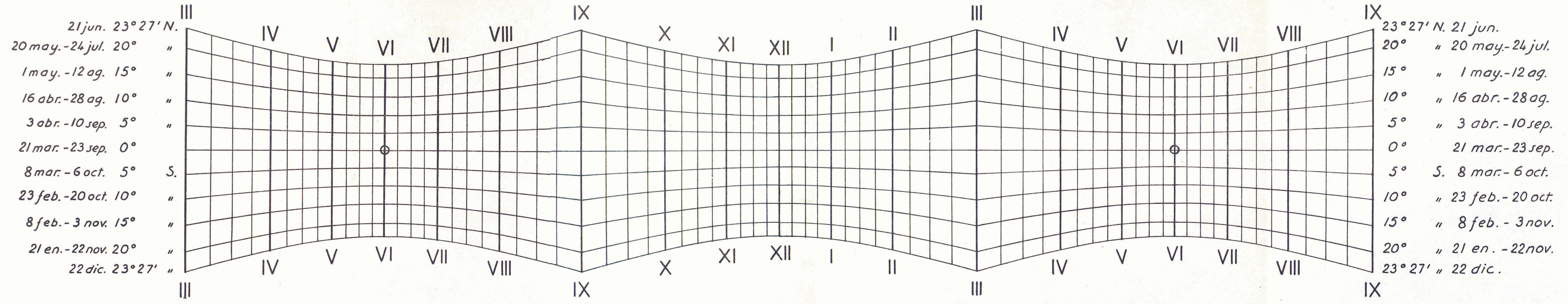


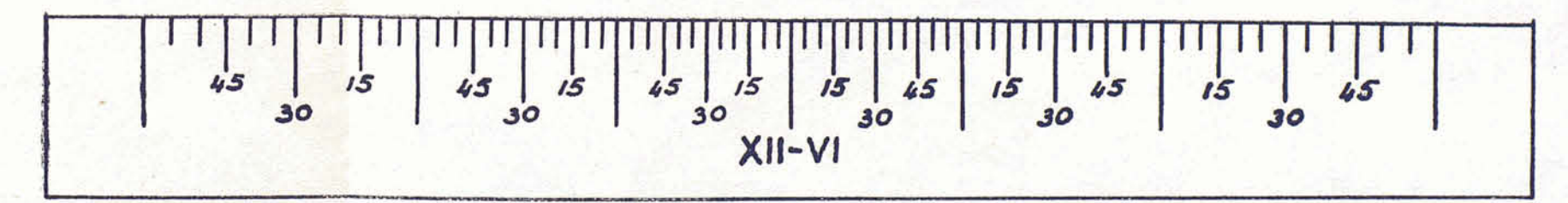
Fig. 5





Levante

Doniente



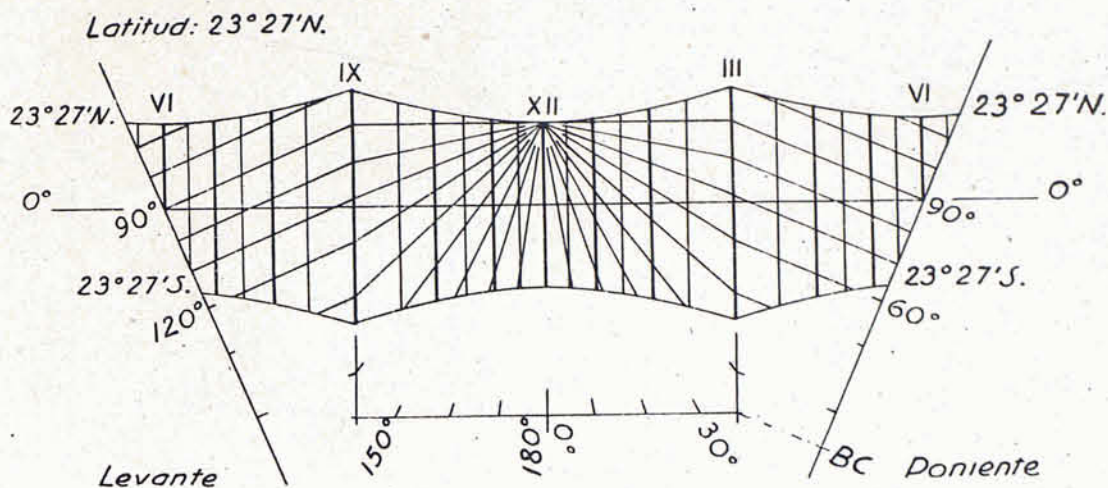


Fig. 9

pone el papel transparente sobre el gráfico y se hacen las lecturas. Debido a la reducción que han de sufrir las figuras al ser reproducidas, operaremos sobre gráficos simplificados, suprimiendo las líneas horarias correspondientes a los cuartos de hora y todas las curvas diurnas menos tres, la equinoccial y las dos solsticiales.

Los puntos en que la línea quebrada del horizonte (fig. 5) corta a una curva de paso aparente nos indican las horas del orto y del ocaso del Sol en el día representado por dicha curva. Por ejemplo, *S* y *P* son, respectivamente, las horas de salida y puesta en el solsticio de verano. Vemos que este día el Sol está 15 horas sobre el horizonte (desde las 4 30 de la mañana a las 7 30 de la tarde).

Un plano vertical corta a los de la bóveda celeste según una línea quebrada cuyos segmentos oriental y occidental son perpendiculares a la línea de horizonte,

y el central pasa por el cenit. En la figura 6 (plano del horizonte), las rectas *KL*, *FG*, *UY*, son las trazas de tres planos verticales, y supondremos que cada uno de éstos representa a dos fachadas opuestas, delante de las cuales no hay ningún obstáculo que impida el acceso a ellas de los rayos solares, o sea que desde cada fachada se ve la mitad de la bóveda celeste. Para hallar la intersección del plano *KL* con los del tríptico, tomamos, en la figura 6, la distancia del punto Sur a *L*, la ponemos en la línea de horizonte de la figura 5 y, en ésta, unimos *L* con el cenit.

En la cara al S.E., las horas de sol serán :  
 en el solsticio de verano, desde las 4 30 (orto) hasta las 12 25 ;  
 en los equinoccios, desde las 6 (orto) hasta las 12 50 ;  
 en el solsticio de invierno, desde las 7 30 (orto) hasta las 1 15.

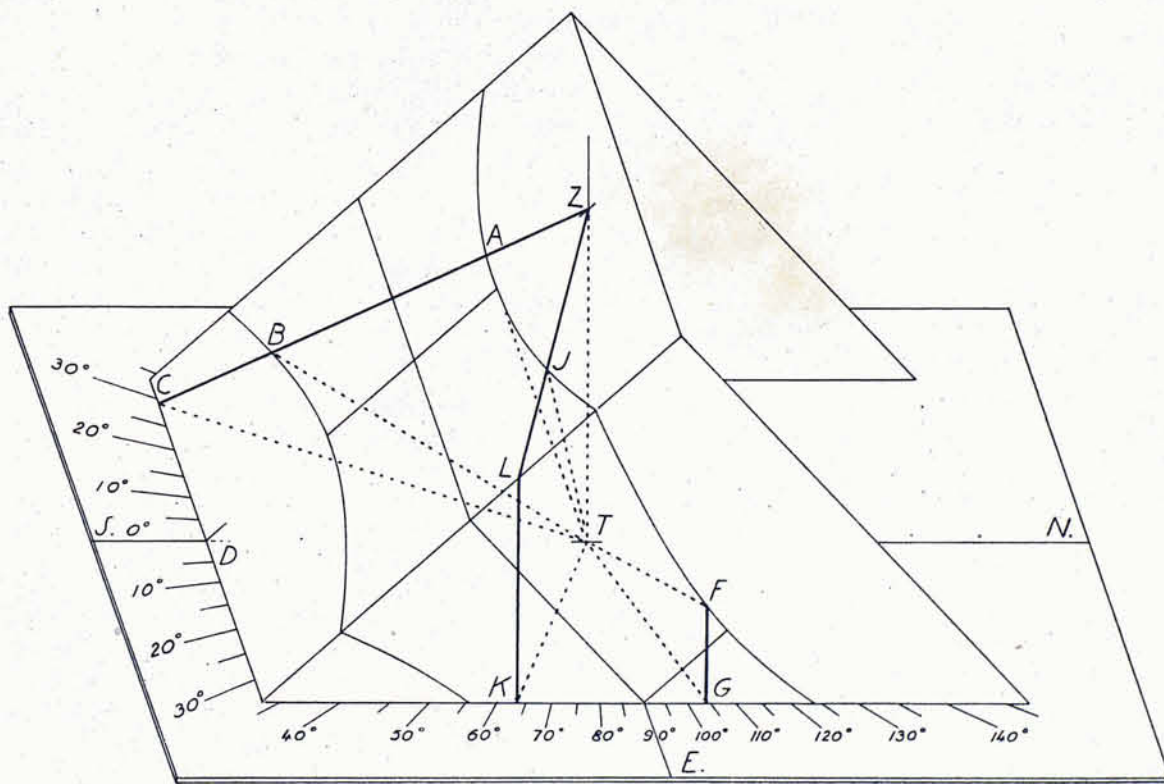


Fig. 10

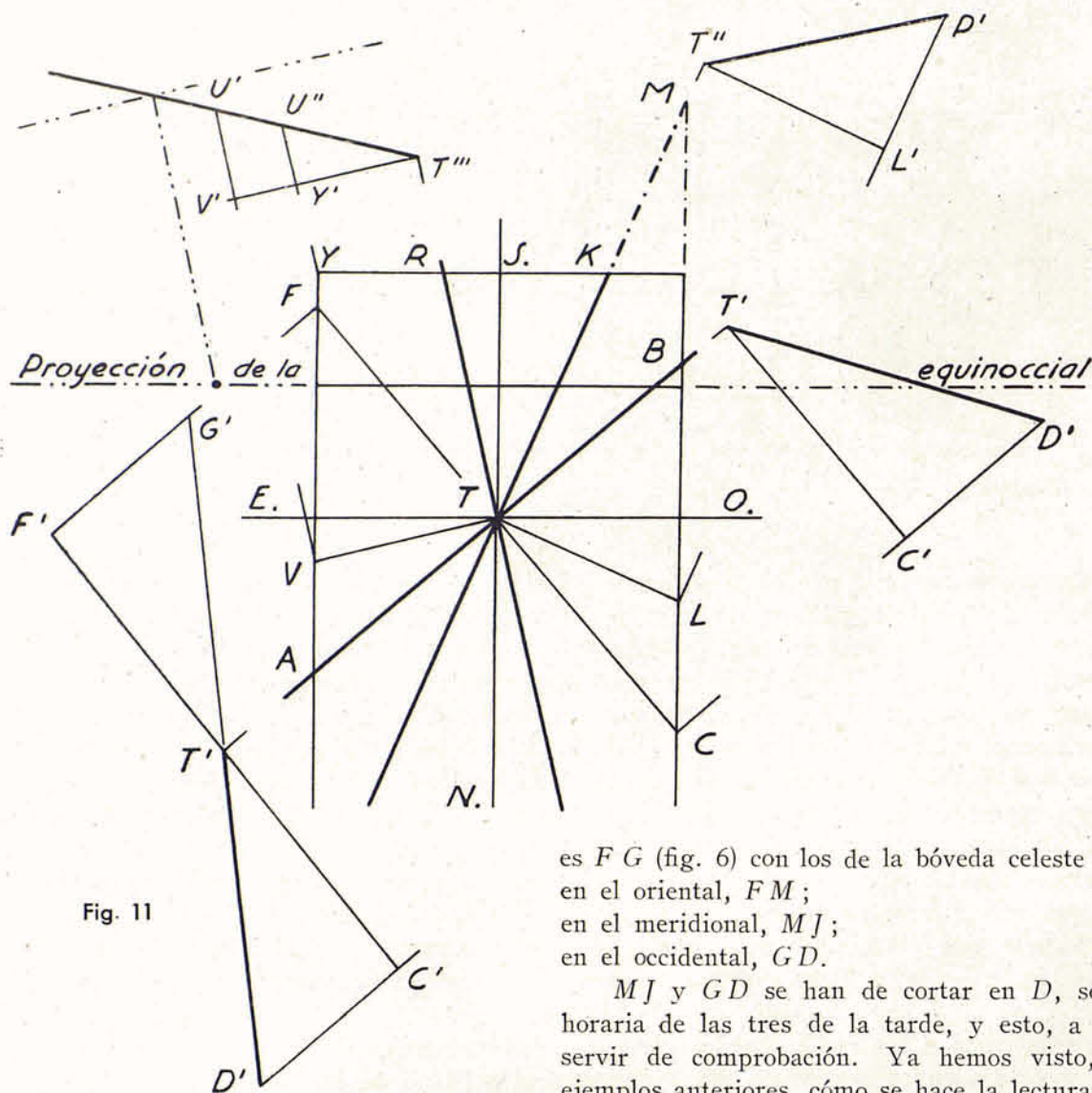


Fig. 11

En la cara al N.O. dará el sol :  
 en el solsticio de verano, desde las 12 25 hasta las 7 30 (ocaso) ;  
 en los equinoccios, desde las 12 50 hasta las 6 (ocaso) ;  
 en el solsticio de invierno, desde la 1 15 hasta las 4 30 (ocaso).

Para hallar las horas de sol en las caras del plano *UY* (fig. 6), tomamos la distancia Este-*U* y la colocamos sobre el segmento oriental de la línea de horizonte de la figura 5 ; en ésta, y por el punto *U*, trazamos la recta *UQ* perpendicular a dicha línea ; unimos *Q* con *Z* prolongando *QZ* hasta que corte a la línea horaria de las tres de la tarde, y, por último, bajamos por *R* la perpendicular *RY* al segmento occidental de la línea de horizonte.

En la fachada que mira al Mediodía habrá sol :  
 en el solsticio de verano, desde las 9 35 hasta las 6 15 ;  
 en los equinoccios, desde las 7 55 hasta las 6 (puesta) ;  
 en el solsticio de invierno, desde las 7 30 (salida) hasta las 4 30 (puesta).

La fachada al Norte tendrá sol :  
 en el solsticio de verano, desde las 4 30 (salida) hasta las 9 35, y desde las 6 15 hasta las 7 30 (puesta) ;  
 en los equinoccios, desde las 6 (salida) hasta las 7 55 ;  
 en el solsticio de invierno no dará el sol.

Las intersecciones del plano cuya traza horizontal

es *FG* (fig. 6) con los de la bóveda celeste (fig. 5) son :  
 en el oriental, *FM* ;  
 en el meridional, *MJ* ;  
 en el occidental, *GD*.

*MJ* y *GD* se han de cortar en *D*, sobre la línea horaria de las tres de la tarde, y esto, a veces, puede servir de comprobación. Ya hemos visto, en los dos ejemplos anteriores, cómo se hace la lectura de las horas de sol, por lo cual la omitimos en el presente.

La figura 7 representa el horizonte, dividido, por trazas de planos verticales, en treinta y seis sectores iguales : *DF* es la traza del plano central de la bóveda celeste cuando la latitud norte es de 54° ; en este caso, las intersecciones de los planos verticales con los del trípico son las indicadas en la figura 8. En la 9, el lugar considerado está en el trópico ; la verdadera línea de horizonte del plano central se sale fuera de los límites del dibujo y la sustituimos por otra recta del mismo plano, paralela a la primera y que se proyecta sobre el horizontal en *BC* (figs. 7 y 9). Como hay planos verticales, cuyas dos intersecciones con los de la bóveda celeste cruzan el área del gráfico, hemos graduado la línea de horizonte de manera que permita identificar cómodamente los planos secantes. Gráficos como los de las figuras 8 y 9 sirven para la rápida comparación de distintas orientaciones.

La determinación del plano vertical que pasa por el Sol, en un momento dado del año, es problema inverso del anterior. Para hallar (fig. 10) el plano que pasa por *A*, punto situado en la parte meridional de la bóveda celeste, uniremos *Z* (cenit) con *A*, prolongando la recta *ZA* hasta que corte a la línea de horizonte : *ZCT* es el plano buscado, *CT* es la proyección horizontal del rayo solar, o sea que el ángulo *DT C* es el acimut del Sol ; *AT C*, su

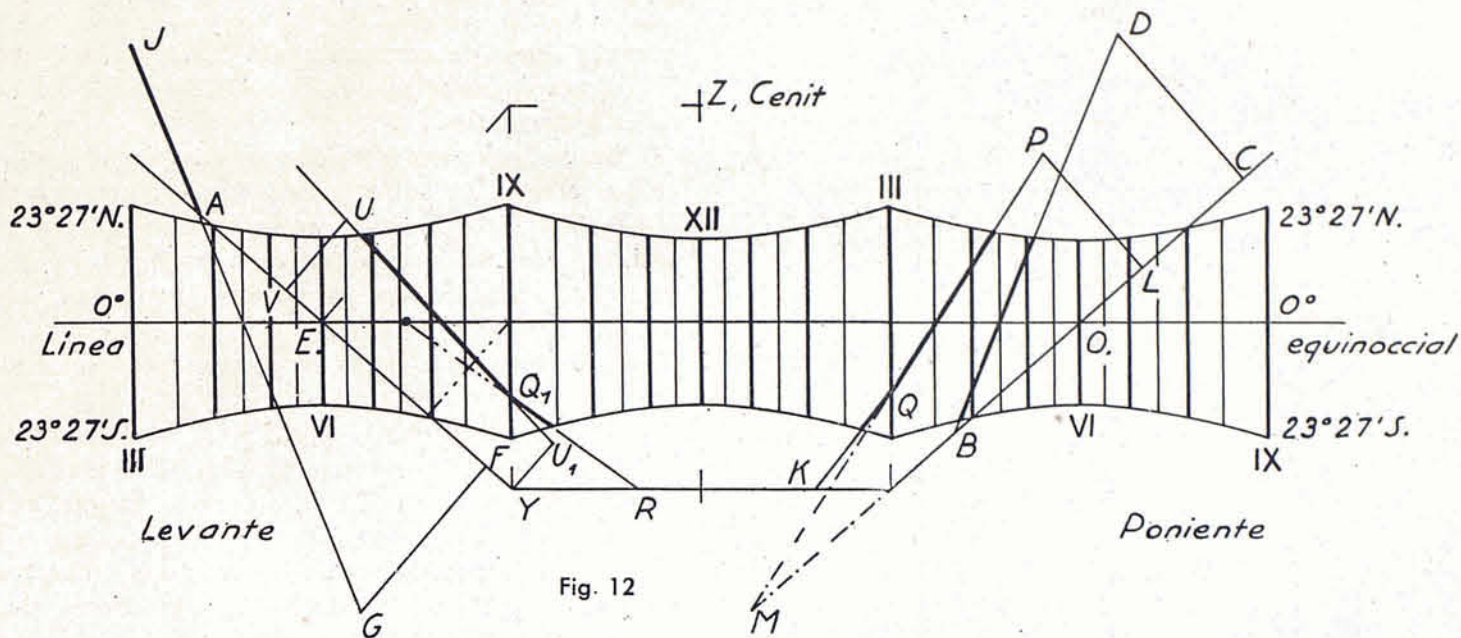


Fig. 12

altura en el momento  $A$ , y  $BTC$ , la correspondiente al  $B$ . Cuando el Sol esté en uno de los planos laterales, por ejemplo en  $F$ , trazaremos  $FG$  perpendicularmente a la línea de horizonte;  $FGT$  es el plano que se busca,  $TG$  es la proyección horizontal del rayo solar; los ángulos  $DTG$  y  $FTG$  son, respectivamente, el acimut y la altura. Si el Sol está en  $J$  (volvemos al plano central de la bóveda), uniremos  $Z$  con  $J$ , prolongando  $ZJ$  hasta que corte en  $L$  a la arista del tríptico, y bajaremos por  $L$  una perpendicular  $LK$  a la línea de horizonte;  $ZLKT$  es el plano vertical del astro;  $DTK$ , su acimut;  $JTK$ , su altura. Cuando la latitud es pequeña y la hora está próxima al mediodía, puede suceder que sea muy corta la distancia entre el cenit y el punto ocupado por el Sol; en este caso, sería inexacto el acimut obtenido mediante la prolongación del segmento cenit-Sol, y hay que modificar el procedimiento; es tan fácil hacerlo, que no insistimos más sobre este asunto.

Si graduamos las líneas de horizonte del gráfico y del plano horizontal, se simplifica el transporte de puntos de una a otra, pues, para efectuarlo, no hay necesidad de tomar medidas. Como se sabe, hay distintos modos de contar los acimutes; en la figura 10, la graduación crece de  $0^\circ$  a  $180^\circ$  en los sentidos S.-E.-N. y S.-O.-N.; en las figuras 7, 8 y 9 también hemos graduado el horizonte de  $0^\circ$  a  $180^\circ$ , pero en los sentidos S.-O.-N. y N.-E.-S.; se pueden simultanear las dos maneras, como se hace en los transportadores.

La figura 11 representa el horizonte. Un plano inclinado de orientación  $AB$ , y cuya línea de máxima pendiente, rebatida, sea  $T'D'$ , corta a los planos oriental y occidental de la bóveda celeste según rectas que se proyectan, respectivamente, en  $BC$  y  $AF$ ; traslademos los puntos  $B, C, F$  y  $A$  al gráfico (fig. 12) y, en éste, tracemos por  $C$  y  $F$  perpendiculares a la línea de horizonte; pongamos sobre ellas, a partir de sus pies, la magnitud  $C'D'$  de la figura 11;  $BD$  y  $AJ$  son las intersecciones del plano dado con los del tríptico.

En la cara superior del plano habrá sol :  
 en el solsticio de verano, desde las 4 de la mañana (orto) hasta las 5 7 de la tarde ;

en los equinoccios, desde las 6 de la mañana (orto) hasta las 4 30 de la tarde ;

en el solsticio de invierno, desde las 8 de la mañana (orto) hasta las 3 50 de la tarde.

La cara inferior del plano tendrá sol :  
 en el solsticio de verano, desde las 5 7 de la tarde hasta las 8 (ocaso) ;  
 en los equinoccios, desde las 4 30 de la tarde hasta las 6 (ocaso) ;  
 en el solsticio de invierno, desde las 3 50 de la tarde hasta las 4 (ocaso).

El plano inclinado que tiene por traza horizontal a  $TM$  (fig. 11), y cuya línea de máxima pendiente, rebatida, es  $T''P'$ , corta a los tres planos del tríptico; la intersección con el plano occidental se proyecta en  $ML$ ; situemos los puntos  $K, M$  y  $L$  sobre la línea de horizonte del gráfico (fig. 12) y, perpendicularmente a ella, tracemos por  $L$  una recta sobre la cual tomaremos  $LP$  igual a la rebatida  $L'P'$  de la figura 11; unamos  $P$  con  $M$ ,  $PQ$  es la intersección del plano dado con el occidental de la bóveda celeste, y como las trazas horizontales del primero y del meridional se cortan en  $K$ ,  $KQ$  es la intersección de ellos; por último, la del plano secante con el oriental cae fuera del área del gráfico, y, debido a ello, no nos interesa.

En la cara superior del plano dará el sol :  
 en el solsticio de verano, desde las 4 de la mañana (salida) hasta las 4 22 de la tarde ;  
 en los equinoccios, desde las 6 de la mañana (salida) hasta las 3 30 de la tarde ;  
 en el solsticio de invierno, desde las 8 de la mañana (salida) hasta las 2 40 de la tarde.

En la cara inferior del plano, las horas de sol serán :  
 en el solsticio de verano, desde las 4 22 de la tarde hasta las 8 (puesta) ;  
 en los equinoccios, desde las 3 30 de la tarde hasta las 6 (puesta) ;  
 en el solsticio de invierno, desde las 2 40 de la tarde hasta las 4 (puesta).

Sea  $TR$  (fig. 11) la traza horizontal de un plano inclinado, cuya línea de máxima pendiente, rebatida, es





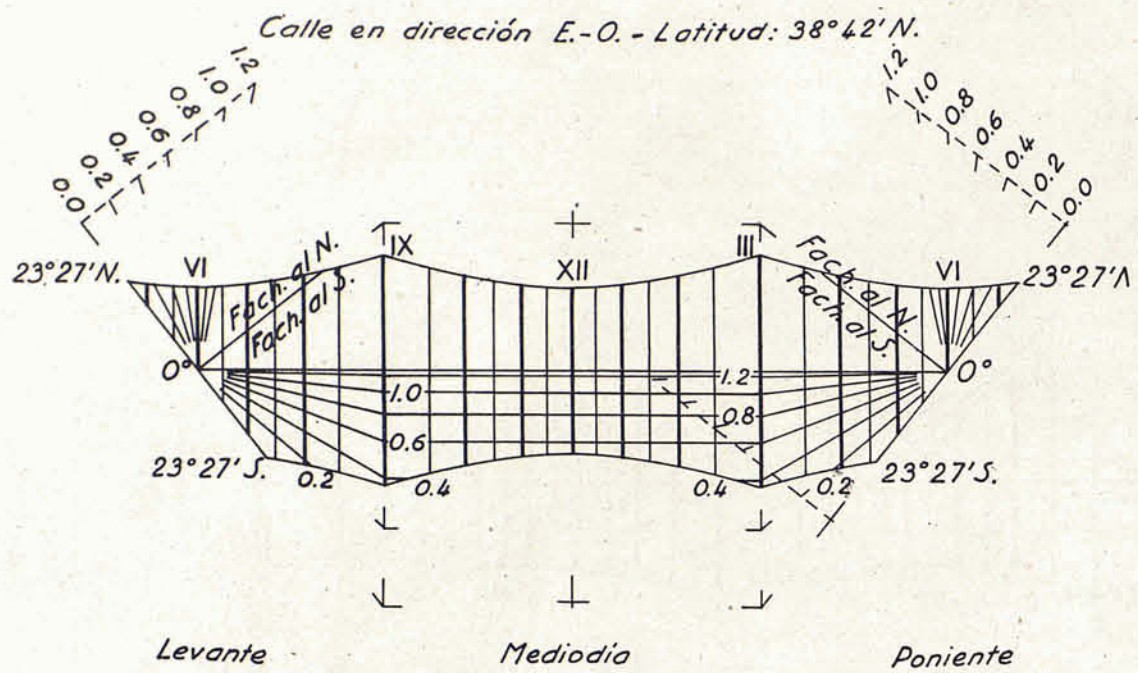


Fig. 17

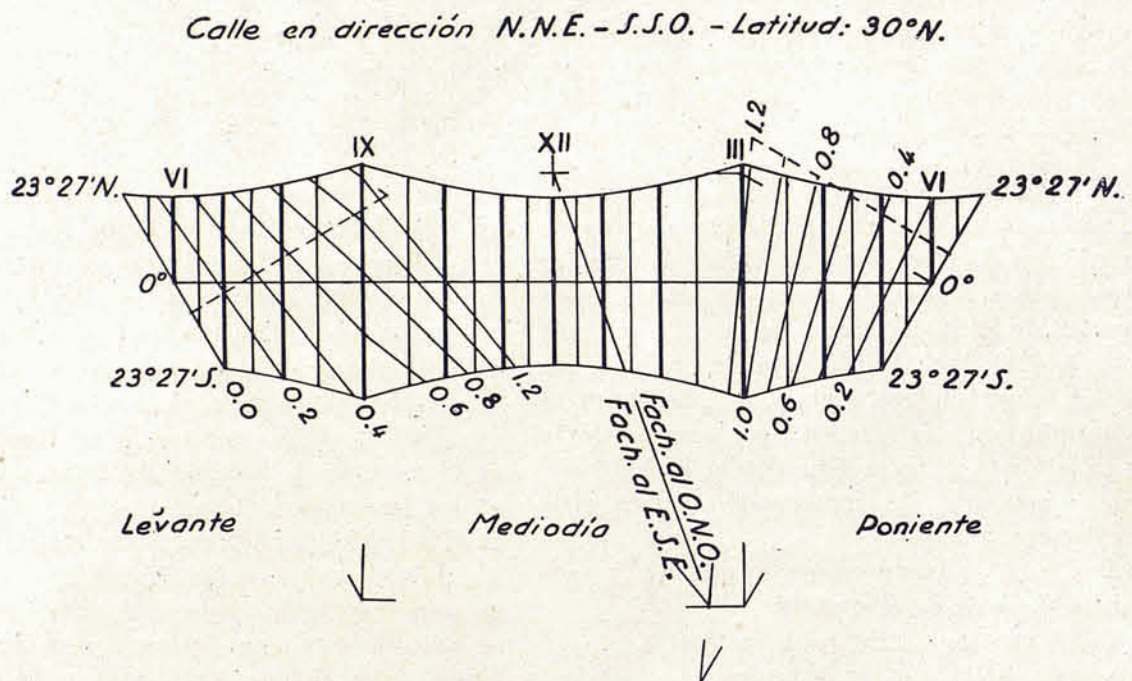


Fig. 18

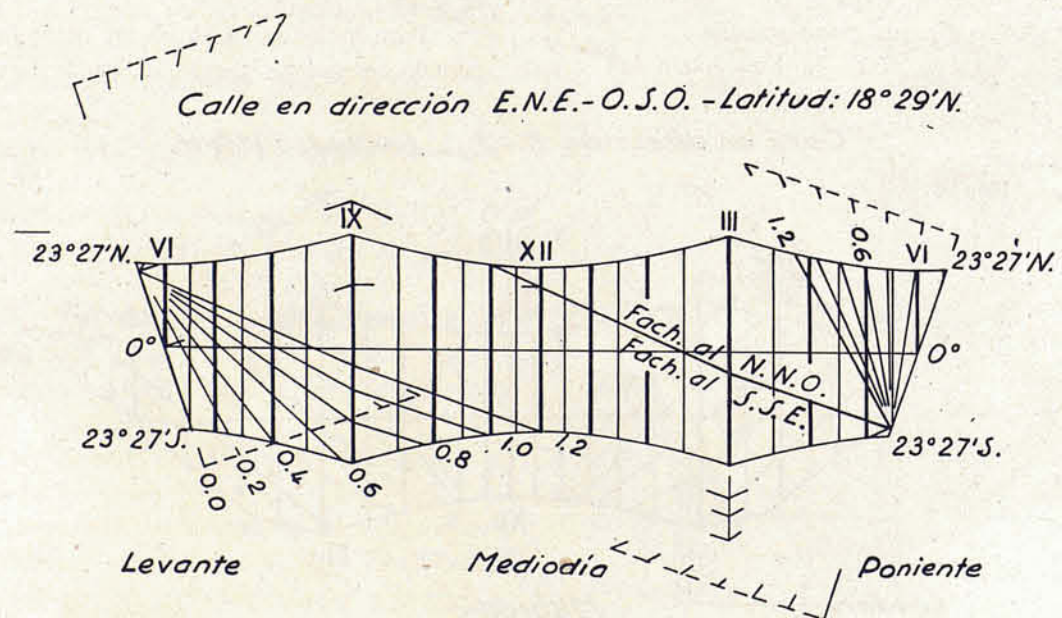


Fig. 19

del año, se han de hacer las mismas operaciones que en el problema anterior; de las figuras 15, 16, 17, 18 y 19 se deduce claramente la manera de encontrar la incógnita  $p$ .

Como último ejemplo de aplicación del «gráfico universal», determinaremos las horas de sol en un punto del interior de una habitación, cuya planta es la dibujada en la parte derecha de la figura 21; dicha pieza tiene dos ventanas: la más ancha da al S.E., y la otra, al S.O.; la recta  $HI$  representa la línea de fachada de un edificio. El punto que vamos a considerar es el  $T$ , a 80 cm. del suelo, como se ve en la figura 22, que es una sección por  $QJ$ . Si no hubiera obstáculos entre las fachadas de la habitación y la bóveda celeste, desde  $T$  se vería, por cada una de las ventanas, el área de cielo comprendida entre cuatro planos que forman una pirámide y están determinados por  $T$  y las aristas (interiores o exteriores) de jambas, dintel y antepecho de la abertura; pero el edificio  $HI$  impide que desde el punto considerado se vea la parte de cielo situada bajo el plano que pasa por  $T$  y por la línea de coronación de la fachada  $HI$ ; en el gráfico de la figura 23 están dibujados con línea gruesa los polígonos que limitan las porciones de cielo visibles desde  $T$ , tanto en el supuesto de que no exista el obstáculo indicado en los datos del problema, como cuando lo hay; en este último caso,  $T$  pierde gran cantidad de horas matinales de sol durante épocas del año en que son muy necesarias. Las construcciones hechas para obtener el resultado son las de siempre; en la parte izquierda de la figura 21 está el horizonte con las trazas de los planos verticales e inclinados, cuyas intersecciones con la bóveda celeste se han de hallar; en la figura 22 se superponen dos secciones, una por  $QJ$  y otra, la incompleta, por  $FG$ ; mediante las letras puestas en las tres figuras se puede seguir la marcha de las operaciones.

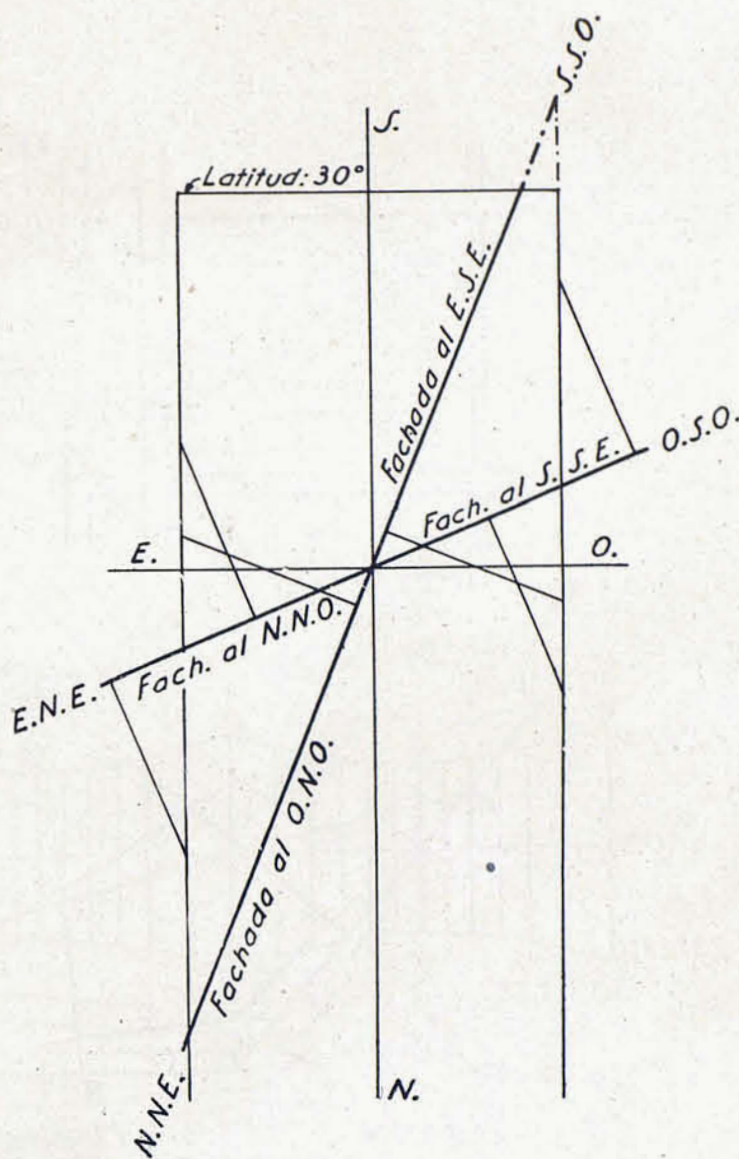


Fig. 20

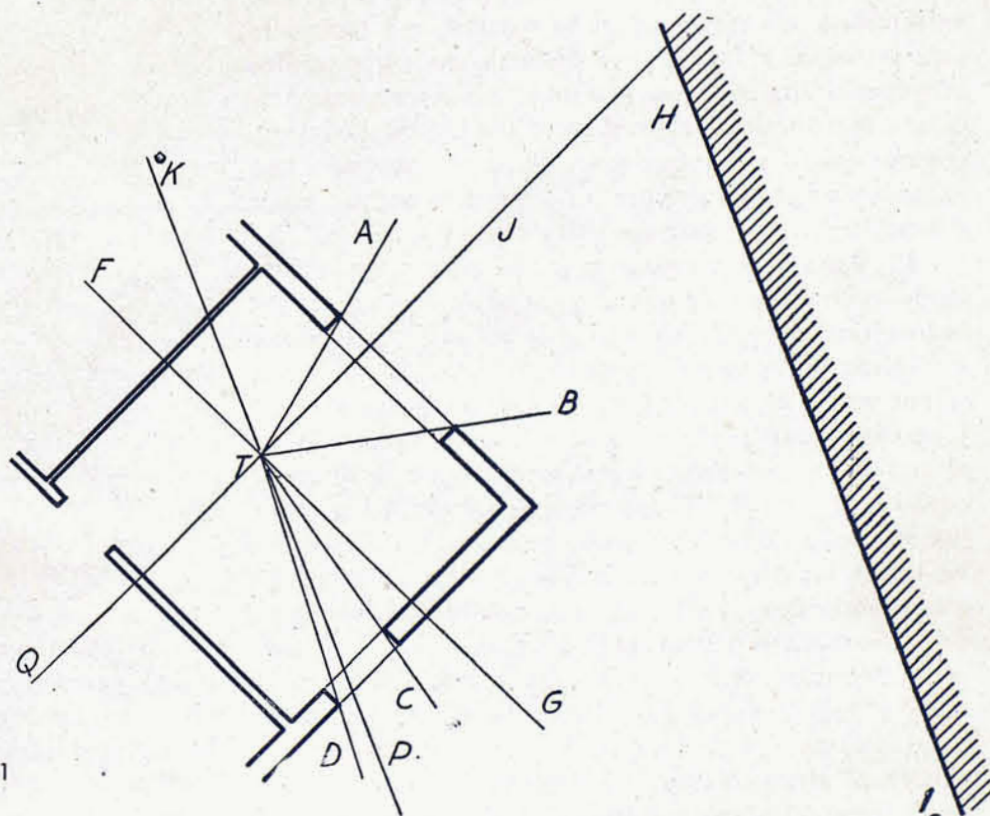
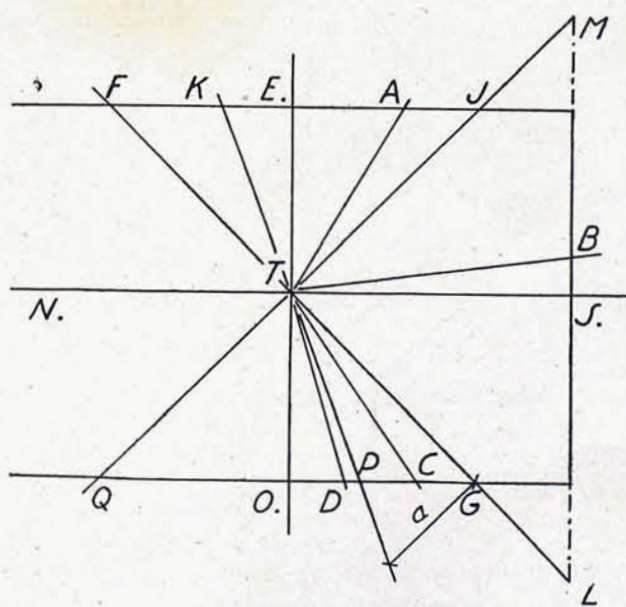
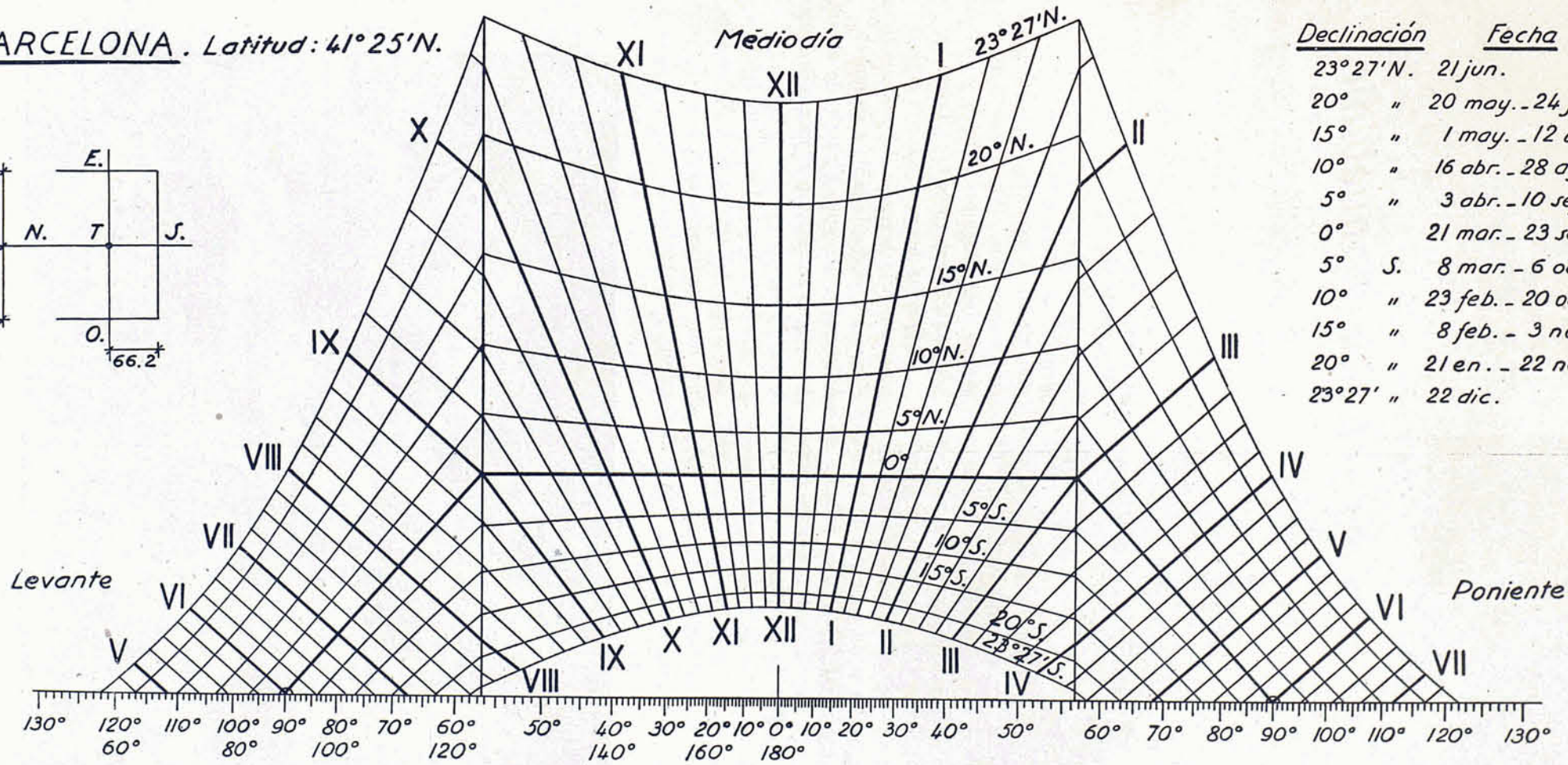
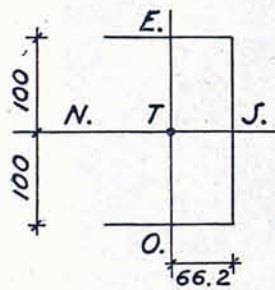


Fig. 21



BARCELONA. *Latitud: 41° 25' N.*



<u>Declinación</u>	<u>Fecha</u>
23° 27' N.	21 jun.
20° "	20 may. - 24 jul.
15° "	1 may. - 12 ag.
10° "	16 abr. - 28 ag.
5° "	3 abr. - 10 sep.
0°	21 mar. - 23 sep.
5° S.	8 mar. - 6 oct.
10° "	23 feb. - 20 oct.
15° "	8 feb. - 3 nov.
20° "	21 en. - 22 nov.
23° 27' "	22 dic.

Fig. 25